

2002 P 070 88

B5

19 BUNDESREPUBLIK  
DEUTSCHLAND



DEUTSCHES  
PATENTAMT

12 Offenlegungsschrift  
11 DE 39 10739 A1

51 Int. Cl. 5:  
H 04 L 27/00  
// H 04 L 1/16

21 Aktenzeichen: P 39 10 739.6  
22 Anmeldetag: 3. 4. 89  
43 Offenlegungstag: 11. 10. 90

DE 39 10739 A1

71 Anmelder:

Deutsche Forschungsanstalt für Luft- und Raumfahrt  
eV, 5300 Bonn, DE

74 Vertreter:

von Kirschbaum, A., Dipl.-Ing., Pat.-Anw., 8034  
Germering

72 Erfinder:

Hagenauer, Joachim, Dr.-Ing.; Höher, Peter,  
Dipl.-Ing., 8031 Seefeld, DE

Prüfungsantrag gem. § 44 PatG ist gestellt

54 Verfahren zur Verallgemeinerung des Viterbi-Algorithmus

Bei einem Verfahren zur Verallgemeinerung des Viterbi-Algorithmus, bei welchem in einer Metrik-Inkrement-Einheit die Übergangskosten gebildet werden und in der nachgeschalteten Addier-Vergleich-Auswähl-Einheit ein Addieren, ein Vergleichen sowie ein Auswählen vorgenommen werden, werden für jeden Zustand die Differenzkosten von zwei eintreffenden Pfaden berechnet, wobei eine Zuverlässigkeitsinformation am Anfang jedes Pfades auf den höchsten Wert festgelegt wird. Anschließend wird dann der Zuverlässigkeitswert des Pfades mit den kleinsten Kosten an den Stellen aufgefrischt, wo die Informationsstellen von dem konkurrierenden Pfad abweichen, wobei das Auffrischen gemäß einer Tabelle vorgenommen wird und wobei der vorherige Wert der Zuverlässigkeitsinformation und die Differenzkosten als Eingangsgröße in der Tabelle angelegt werden. Hierauf wird der neue Wert aus der Tabelle entnommen und zusammen mit harten Entscheidungen als Pfadgedächtnis abgespeichert, wobei das Abspeichern in Form von Festkomma- oder Gleitpunkt-Werten erfolgt. Schließlich wird die Analogwertentscheidung aus der Stelle herausgelesen, die sich nach einer Entscheidungsverzögerung für den Pfad mit den kleinsten Kosten ergibt, wobei das Vorzeichen der Analogwert-Entscheidungen die harten Entscheidungen des bekannten Viterbi-Algorithmus sind.

Durch das erfindungsgemäße Verfahren ist somit ein Viterbi-Algorithmus geschaffen, an dessen Ausgang Analogwertentscheidungen, d. h. Soft Decisions vorliegen.

BEST AVAILABLE COPY

DE 3910739 A1

## Beschreibung

Die Erfindung betrifft ein Verfahren zum Verallgemeinern des Viterbi-Algorithmus sowie Einrichtungen zur Durchführung des Verfahrens.

Der von G. D. Forney in Proc of the IEEE, Vol. 61, Nr. 3 Seiten 268 bis 278, März 1973 beschriebene Viterbi-Algorithmus ist ein Standardmittel in Nachrichtenempfängern geworden, mit welchem verschiedene Funktionen, wie eine Demodulation, ein Decodieren, eine Entzerrung usw. durchgeführt werden. Bei zunehmend mehr Anwendungsfällen werden zwei Viterbi-Algorithmen in einer verketteten Weise verwendet. Beispiele hierfür sind codierte Modulationssysteme ohne Bandbreiten-Dehnung, wie codierte QAM ("Quadratur-Amplituden-Modulation") oder CPM ("Kontinuierliche Phasen-Modulation"), wobei Viterbi-Empfänger klassische Modulationsverfahren ersetzen. Bei einem zusätzlichen äußeren Codiersystem könnten Faltungscodes mit Viterbi-Decodierung benutzt werden, um eine Vorwärts-Fehlerkorrektur-(FEC-)Decodierung durchzuführen.

Eine derartige Lösung weist jedoch zwei Nachteile auf: Zum einen erzeugt der innere Viterbi-Algorithmus bei einer Demodulation Fehlerbündel, gegenüber welchen der äußere Viterbi-Algorithmus sehr empfindlich ist, und zum anderen erzeugt der innere Viterbi-Algorithmus harte d. h. binäre Entscheidungen (Hard-Decisions), so daß beim äußeren Viterbi-Algorithmus dessen Leistungsfähigkeit, sogenannte Soft-Decisions, d. h. analoge Entscheidungen zu liefern, nicht ausgenutzt werden kann. Der erste Nachteil kann mit Hilfe einer Spreizung (Interleaving) zwischen dem inneren und äußeren Viterbi-Algorithmus ausgeglichen werden. Im zweiten Fall wären Soft-Decisions, d. h. eine Zuverlässigkeits-Information zusammen mit den Entscheidungen des inneren Viterbi-Algorithmus erwünscht. Hierdurch wurde die Wirksamkeit des äußeren Viterbi-Algorithmus beträchtlich verbessert.

Ähnliche Schwierigkeiten ergeben sich dann, wenn Faltungscodes für das Vorwärts-Fehlerkorrektur-(FEC-)Decodieren auf Kanälen benutzt werden, welche eine Entzerrung erfordern. Dies ist beispielsweise bei dem zukünftigen gesamteuropäischen Mobilfunksystem (GSM) der Fall. Hierbei erzeugt ein Viterbi-Entzerrer nur harte Entscheidungen, welche zu einer reduzierten Leistung bei dem äußeren Viterbi-Algorithmus führen, bei welchem eine FEC-Decodierung durchgeführt wird.

Eine weitere Möglichkeit besteht darin, einen Viterbi-Algorithmus zum Decodieren eines geblockten bzw. terminierten Faltungscodes zu benutzen. Dies ist ein Faltungscod mit Gedächtnis, welcher durch  $v$  bekannte Symbole begrenzt ist. Häufig erfordert auch ein Quellendecodierer eine Zuverlässigkeitsinformation über das richtige Codieren des gesamten Rahmens oder von Teilen, welche zur Überlagerung oder zur Interpolation der Quellensignale benutzt werden können.

Bisher wurde dann, wenn ein innerer Viterbi-Algorithmus benutzt wird, als richtige Wahl für den äußeren Code wegen dessen Bündel-Korrigierbarkeit ein Reed-Solomon-(RS-)Code angesehen, da durch diesen RS-Code die Restfehler des Viterbi-Algorithmus vermindert werden. Jedoch kann die volle Leistung eines RS-Decoders nur dann realisiert werden, wenn eine Fehler- und Lösch-Decodierung angewendet wird. Ein gewünschtes ML-("Maximum-Likelihood")-Decodieren von RS-Codes ist derzeit noch nicht verfügbar. Sowohl ein Löscher als auch ein ML-Decodieren würden nämlich "Soft"-Decisions des ersten Viterbi-Algorithmus erfordern, die dann mit einem bestimmten Schwellenwert zu Auslösungen werden. Mit Hilfe von Soft-Decisions würden sich sogar einfache Blockcodes, wie Parity-Check-Codes, viel besser decodieren lassen.

Der Viterbi-Algorithmus wurde 1967 als ein Verfahren zum Decodieren von Faltungscodes vorgestellt (siehe A. J. Viterbi, IEEE Trans. Inform. Theory, Vol. IT-13 Stn. 260-269, April 1967), wobei kurz darauf gezeigt werden konnte, daß der Algorithmus im ML-("Maximum-Likelihood")-Sinne optimal ist. (Siehe beispielsweise I. K. Omura, in IEEE Trans. Inform. Theory, Vol. IT-15, Stn. 177-179, Jan. 1969.)

Versuche, die Bitfehler-Wahrscheinlichkeit auf Kanälen mit Nachbarsymbol-Interferenzen zu minimieren, führten zu einer Empfängerstruktur, welche weniger attraktiv als der Viterbi-Algorithmus ist. Dieser Algorithmus wurde daher noch generalisiert (siehe beispielsweise L. B. Bahl u. a., IEEE Trans. Inform. Theory Vol. IT-20, Stn. 284-287, März 1974). Es wurde gezeigt, daß der Algorithmus im Sinne einer MAP-Entscheidung optimal ist und für jedes Bit die entsprechende A-Posteriori-Wahrscheinlichkeit (APP) liefert. Jedoch ist aufgrund der höheren Komplexibilität die Anzahl der Anwendungsmöglichkeiten begrenzt.

Es wurden auch noch zahlreiche weitere Versuche unternommen, eine Zuverlässigkeitsinformation abzuleiten. Der Anmelderin ist jedoch kein Vorschlag bekannt, bei welchem die A-Posteriori-Wahrscheinlichkeiten (APP) des MAP-Detektors oder eine Soft-Decision von einem erweiterten Viterbi-Algorithmus aus benutzt wird, um eine optimale äußere Soft-Decision-Decodierung durchzuführen.

Obwohl von einem Viterbi-Empfänger Soft-Decisions akzeptiert werden, liefert er nur Hard-Decisions. Die nächste Empfängerstufe würde jedoch in vielen Fällen besser arbeiten, wenn Soft-Decisions, d. h. Analogwerte, für jedes Symbol abgeleitet würden. Es gibt jedoch keinen direkten Weg, um im bekannten Viterbi-Algorithmus Soft-Decisions für jedes einzelne Symbol zu extrahieren.

Aufgabe der Erfindung ist es daher, ein Verfahren und eine Einrichtung zum Verallgemeinern eines Viterbi-Algorithmus so auszubilden, daß der Viterbi-Algorithmus analoge Entscheidungen, d. h. Soft-Decisions liefert. Gemäß der Erfindung ist dies bei einem Verfahren zum Verallgemeinern des Viterbi-Algorithmus nach dem Oberbegriff des Anspruchs 1 durch die Merkmale im kennzeichnenden Teil des Anspruchs 1 verwirklicht. Eine Modifizierung des Verfahrens nach Anspruch 1 ist durch die Merkmale im kennzeichnenden Teil des Anspruchs 2 realisiert. Eine vorteilhafte Weiterbildung dieser Verfahren ist im Anspruch 3 angegeben. Eine Einrichtung zur Durchführung der erfindungsgemäßen Verfahren ist im Anspruch 4 angegeben, wobei in den nachfolgenden Unteransprüchen vorteilhafte Weiterbildungen und Modifizierungen der Einrichtung nach Anspruch 4 angeführt sind.

Gemäß der Erfindung wird bei dem Verfahren zur Verallgemeinerung des herkömmlichen Viterbi-Algorithmus, bei welchem in einer Metrik-Inkrement-Einheit (TMU) die Kosten gebildet werden, und in einer nachge-

schalteten Addier-Vergleich- und Auswahl-(ACS-)Einheit ein Addieren, ein Vergleichen sowie ein Auswählen vorgenommen werden, für jeden einzelnen Zustand Differenzkosten von zwei eintreffenden Pfaden berechnet, wobei die Zuverlässigkeitsinformation am Anfang jedes Pfades auf den höchsten Wert festgesetzt wird. Anschließend wird der Zuverlässigkeitswert des Pfades mit den kleinsten Kosten an den Stellen aufgefrischt, an welchen die Informationsstellen von dem konkurrierenden Pfad abweichen; hierbei wird das Auffrischen gemäß einer Tabelle vorgenommen, indem der vorherige Wert der Zuverlässigkeitsinformation und die Differenzkosten als neue Eingangsgröße in der Tabelle angelegt werden. Dieser neue Wert wird dann aus der Tabelle entnommen und zusammen mit harten Entscheidungen als sogenanntes Pfadgedächtnis abgespeichert; hierbei kann das Abspeichern in Form von Fest- oder Gleitpunkt-Werten erfolgen. Schließlich wird dann eine Analogwert-Entscheidung aus den Stellen herausgelesen, die sich nach einer gewissen Entscheidungsverzögerung für den Pfad mit den kleinsten Kosten ergibt. Die harten Entscheidungen des bekannten Viterbi-Algorithmus sind die Vorzeichen der Analogwert-Entscheidungen.

Bei dem Verfahren zum Modifizieren des erfindungsgemäßen Verfahrens zum Verallgemeinern des Viterbi-Algorithmus wird zum Auffrischen einer Zuverlässigkeitsinformation das Minimum aus der alten Zuverlässigkeitsinformation und — durch Einführen eines Faktors  $\alpha$ -normierten Pfad-Differenzkosten gebildet und dieser neue Wert wird dann als Pfadgedächtnis abgespeichert.

Gemäß einer bevorzugten Weiterbildung der Verfahren zum Verallgemeinern bzw. Modifizieren des Viterbi-Algorithmus ist zum Pfadauffrischen eine Pfad-Auffrischeinheit vorgesehen, durch welche in einem gewissen Bereich ( $k - v$  bis  $k - \delta_p$  mit  $v \leq \delta_p \leq \delta_m$ ) die Informationsbits der beiden konkurrierenden Pfade auf Gleichheit überprüft werden und bei Feststellen einer Ungleichheit der Auffrischvorgang aktiviert; hierbei sind mit  $k$  ein Zeitindex, mit  $v$  ein Codegedächtnis und mit  $\delta$  eine Verzögerung bzw. Eindringtiefe bezeichnet.

Bei einer bevorzugten Einrichtung zur Durchführung der Verfahren sind neben den bekannten zur Durchführung des Viterbi-Algorithmus erforderlichen Einheiten, nämlich eine Metrik-Inkrement-Einheit (TMU) und einer Addier-Vergleich-Auswahl-Einheit zusätzlich noch ein Pfad-RAM sowie eine Pfad-Auffrischeinheit (PAU) vorgesehen, wobei zum Pfadauffrischen in einem ganz bestimmten Bereich, nämlich in dem Bereich  $k - v$  bis  $k - \delta_m$  die Informationsbits der beiden konkurrierenden Pfade auf Gleichheit überprüft werden und bei einer Ungleichheit der Auffrischvorgang in dem Pfad-RAM aktiviert wird.

Gemäß einer vorteilhaften Weiterbildung der erfindungsgemäßen Einrichtung ist eine Einrichtung zum Normieren des Auffrischens der Zuverlässigkeitsinformation vorgesehen, wobei ein Faktor ( $\alpha$ ) eingeführt wird, wobei dann hierdurch einer Festkomma-Darstellung genügt und gleichzeitig ein Überlauf vermieden ist. Wenn Zeit gewonnen werden soll oder muß, ist für jeden von  $S$ -Zuständen jeweils eine gesonderte Pfad-Auffrischeinheit (PAU) vorgesehen, wobei dann aufgrund dieser Parallelanordnung im Hinblick auf das Vorsehen nur einer einzigen Pfad-Auffrischeinheit (PAU) ein Zeitgewinn in der Größe des Faktors  $S$  erzielt wird.

Ferner kann gemäß einer weiteren vorteilhaften Ausbildung für jedes Zeitintervall ( $k - v$  bis  $k - \delta_p$ ) jeweils eine gesonderte Pfad-Auffrischeinheit (PAU) vorgesehen sein, wobei dann durch diese Parallelanordnung Zeitgewinne in der Größenordnung eines Faktors, nämlich von  $v - \delta_p$  erzielbar sind, wobei  $v$  wieder ein Codegedächtnis und  $\delta_p$  eine definierte Verzögerung bzw. Eindringtiefe sind.

Durch die vorliegende Erfindung wird somit ein herkömmlicher Viterbi-Empfänger durch eine sogenannte Soft-Deciding-Einrichtung, d. h. eine Einrichtung erweitert, welche analoge Entscheidungen, d. h. Soft-Decisions liefert, die immer besser als harte, d. h. binäre Entscheidungen, nämlich Hard-Decisions sind. Wieviel hierbei jeweils gewonnen werden kann, hängt jedoch von der Art und Weise ab, wie die nächste Empfängerstufe arbeitet. Hierbei ist im Minimum ein Gewinn von 2 dB erreichbar, während er maximale Gewinn bei mehr als 10 dB liegen kann. In einem klassischen Viterbi-Empfänger kann ein solcher Gewinn auf keinen Fall realisiert werden.

Der Viterbi-Algorithmus (VA) mit einer Analogwert-Entscheidung (SD) ist in all den Bereichen anwendbar, in denen auch der herkömmliche Viterbi-Algorithmus einsetzbar ist, nämlich als Decodierer, als Entzerrer oder als Demodulator für codierte Modulation. In all diesen Fällen muß nur die Metrik-Inkrement-Einheit, d. h. die sogenannte TMU-Einheit in bekannter Weise ausgetauscht werden. Dasselbe gilt auch bei Anwendungsfällen für punktierte Codes oder bei der Verwendung als Demodulator mit reduzierter Zustandsanzahl.

Gemäß der Erfindung könnte daher in einer Empfängerseite ein MAP-(Maximum-A-Posteriori-) oder ein Viterbi-Detektor verwendet werden. Dies könnte ein Viterbi-Entzerrer, ein Viterbi-Demodulator (beispielsweise für Modulationsverfahren konstanter Einhüllender (CPM) oder für eine Trellis-codierte Modulation (TCM)), oder ein Viterbi-Decoder für einen inneren Faltungscodierung sein. Auf diese Einrichtung folgt dann ein zweiter Detektor, welcher, nach dem Entzerrer ein Demodulator oder ein Decoder, nach dem Demodulator ein Decoder, nach dem inneren Decoder ein äußerer Decoder oder ein Quellendecoder sein könnte. Die Leistung der zweiten Einrichtung wird hierbei dadurch verbessert, daß außer binären Entscheidungen d. h. Hard-Decisions von der ersten Stufe eine Zuverlässigkeits-Information oder Analogwert-Entscheidungen, d. h. Soft-Decisions, verfügbar sind.

Ferner können durch die Erfindung alle eingangs erwähnten Anwendungsmöglichkeiten sowie weitere Anwendungen, wie adaptive Viterbi-Schemen; FEC ("Forward Error Correction") / ARQ ("Automatic Repeat REQuest")-Schemen eine Viterbi-Synchronisation mit Hilfe des erfindungsgemäßen Viterbi-Algorithmus (VA) mit Analogwert-Entscheidungen (SD) bzw. mit Hilfe eines Soft-Deciding-Viterbi-Algorithmus (SDVA) verbessert werden. Dies ist ein Viterbi-Algorithmus, welcher Soft (oder Hard-) Decisions benutzt, um Metriken zu berechnen, jedoch auch soft d. h. analog, und somit nicht in einer harten d. h. binären Form entscheidet. Ein besonders vorteilhafter Weg besteht darin, zusammen mit den Entscheidungen eine Zuverlässigkeitsinformation, d. h. die Wahrscheinlichkeit einer richtigen Entscheidung oder eine logarithmische Wahrscheinlichkeitsfunktion zu liefern.

Der optimale Weg besteht darin, A-Posteriori-Wahrscheinlichkeiten (APP) für die Entscheidung zu berechnen

und einen Algorithmus zu bilden, um maximale A-Posteriori-(MAP-)Entscheidungen zu treffen. Der erfindungsgemäße SDV-Algorithmus unterscheidet sich daher vollständig von dem Viterbi-Algorithmus, obwohl dieser lediglich mit einem kleinen Zusatz in Form einer Analogwert-Entscheidungen liefernden Einheit, einer sogenannten Soft-Deciding-Einheit, versehen zu werden braucht.

Nachfolgend wird die Erfindung anhand von bevorzugten Ausführungsformen im einzelnen erläutert. Es zeigen:

Fig. 1 ein Blockdiagramm eines Detektors für einen Viterbi-Algorithmus mit Analogwert-Entscheidungen und mit Zuverlässigkeitsinformation gemäß der Erfindung;

Fig. 2 ein Beispiel eines Viterbi-Algorithmus mit Analogwert-Entscheidungen (SDVA);

Fig. 3 ein Blockdiagramm eines Viterbi-Algorithmus mit Analogwert-Entscheidungen (SDVA) mit einer sogenannten Pipelining-Wirkung;

Fig. 4 ein Blockdiagramm eines Pfad-RAM und eines Metrik-RAM;

Fig. 5 schematisch einen Auffrischvorgang bzw. eine Aktualisierung einer Analogwertentscheidung (SD);

Fig. 6 eine schematische Darstellung einer Pfad-Auffrischeinheit (PAU) gemäß der Erfindung, und

Fig. 7 über der Zeit aufgetragene Ausgangswerte eines Viterbi-Algorithmus mit Analogwert-Entscheidungen (SDVA) gemäß der Erfindung.

In Fig. 1 liefert ein Viterbi-Detektor der ersten Stufe, mittels welchem ein Viterbi-Algorithmus mit Analogwert-Entscheidungen (SDVA) durchgeführt wird, Schätzungen  $\hat{u}'$  der Symbolfolge  $u'$ , indem die empfangene Symbolfolge  $y$  in einem MAP- oder Viterbi-Detektor verarbeitet wird. Hierbei soll dann der Detektor für jedes Symbol eine Zuverlässigkeitsinformation liefern, d. h. einen Schätzwert für die Wahrscheinlichkeit, daß dieses Symbol ungenau festgestellt worden ist:

$$p'_k = \text{Prob}\{\hat{u}'_k \neq u'_k | y\} \quad (1)$$

Dieser Schätzwert  $\hat{u}'$  ist nicht immer richtig. Daher wird eine bedingte Wahrscheinlichkeitsdichte-Funktion  $p(\hat{p}'_k | p'_k)$  vorgesehen, welche den Schätzungsfehler zum Schätzen von  $\hat{p}'_k$  beschreibt, welcher durch  $p'_k$  gegeben ist. Da der Viterbi-Algorithmus der ersten Stufe korrelierte Fehler in  $\hat{u}'_k$  und  $\hat{p}'_k$  erzeugt, welche die Leistung der nächsten Stufe verschlechtern können, wird eine hinreichende Spreizung durchgeführt, um eine statistische Unabhängigkeit zu erreichen. (Hierbei sind die Strichindizes weggelassen). Natürlich erfordert dies eine entsprechende, sendeseitige Spreizungseinrichtung.

Bei der gestrichelten Linie A-A' in Fig. 1 liefert der Detektor der ersten Stufe Symbole  $\hat{u}_k$  mit statistisch unabhängigen Fehlerwahrscheinlichkeiten  $p_k$ . Ein derartiger Kanal wird als ein diskreter gedächtnisloser Verbundkanal bezeichnet, welcher einen Schätzwert  $\hat{p}_k$  für diese Fehlerwahrscheinlichkeiten  $p_k$  liefert. Wenn die Fehlerwahrscheinlichkeitsdichte  $p(p_k)$  und die Schätzungsichte  $p(\hat{p}_k | p_k)$  gegeben sind, kann die Kanalkapazität eines solchen Verbundkanals berechnet werden. Für Binärwerte  $u_k$  kann ein derartiger Kanal als ein binärer, symmetrischer Kanal (BSC) mit einer Fehlerwahrscheinlichkeit  $p_k$  betrachtet werden, welcher sich von Bit zu Bit mit einem statistisch unabhängigen Wert  $p_k$  entsprechend der Dichtefunktion  $p(p_k)$  ändert. Diese Fehlerwahrscheinlichkeit kann mit einer Wahrscheinlichkeit  $p(\hat{p}_k | p_k)$  bewertet werden.

Für einen Detektor der zweiten Stufe ist der Kanal ein diskreter (binärer) gedächtnisloser Verbundkanal mit Ausgangs-Paarwerten  $(\hat{u}_k, \hat{p}_k)$ . Wenn der Detektor der zweiten Stufe eine ML-(Maximum-Likelihood) Detektion durchführt, ist die optimale ML-Metrik

$$\sum_k x_k^{(m)} \cdot \hat{u}_k \log \frac{1 - \hat{p}_k}{\hat{p}_k}, \quad (2)$$

wobei  $x_k^{(m)} = \pm 1$  das  $k$ -te Symbol der  $m$ -ten Informationsfolge ist. Der Wert  $\hat{u}_k$  ist die harte Entscheidung ( $\pm 1$ ) des ersten Viterbi-Detektors. Da diese harte Entscheidung mit  $\log 1 - \hat{p}_k / \hat{p}_k$  zu bewerten ist, kann  $\hat{u}_k \log (1 - \hat{p}_k) / \hat{p}_k$  als eine Soft-Decision-Variable betrachtet werden. Folglich wird der erste Viterbi-Algorithmus als ein Soft-Deciding-Viterbi-(SDV-)Algorithmus bezeichnet, da er Soft-Decisions

$$\hat{u}_k \log \frac{1 - \hat{p}_k}{\hat{p}_k} \quad (3)$$

liefert, welche von der nächsten ML-Detektorstufe zu verarbeiten sind. Die Detektor der nächsten Stufe kann wieder ein Viterbi-Algorithmus sein, welcher Soft-Decisions akzeptiert und schließlich harte Entscheidungen liefert. Zweckmäßigerweise kann er wieder ein Soft-Deciding-Viterbi-(SDV-)Algorithmus sein, welcher zusammen mit den Entscheidungen eine Zuverlässigkeitsinformation liefert, welche in einem Decoder der nächsten Stufe oder dem Quellendecoder brauchbar sein könnte. Ebenso könnten die Soft-Decision nach (3) in drei Werte  $(-1, 0, +1)$  quantisiert werden, die folglich Fehler und Löschungen anzeigen, welche verwendbar sind, wenn der Detektor der zweiten Stufe ein RS- oder anderer Blockcode-Decoder ist.

Der Viterbi-Algorithmus (VA) ist dann zu modifizieren, damit er ein Soft-Deciding-Viterbi-(SDV-)Algorithmus wird, welcher Soft-Decisions (3) mit  $\hat{p}_k$  liefert, welcher, soweit wie möglich  $p_k$ , angenähert ist. Nachstehend werden nun zwei Lösungen untersucht:

Eine Einrichtung erzeugt Entscheidungen mit einem optimalen Wert von  $\hat{p}_k = p_k$  bzw. einen optimalen Wert für  $\log (1 - \hat{p}_k) / \hat{p}_k = \log (1 - p_k) / p_k$ . Dies ist der bekannte, "Maximum" A-Posteriori-(MAP-)Algorithmus, welcher einen Schätzwert für  $p_k$  einschließt. Dieser Algorithmus, der hier als Soft-Deciding-MAP-(SDMAP-)Algorith-

mus bezeichnet wird, unterscheidet sich von dem Viterbi-Algorithmus und ist komplexer.

Für den anderen, d. h. für den SDV-Algorithmus wird gefordert, daß er dieselben harten Entscheidungen wie der Viterbi-Algorithmus liefert, welche nur ML für die Folge und nicht MAP für die Symbole sind. Daher wird der ursprüngliche Viterbi-Algorithmus genommen und durch eine Fehlerwahrscheinlichkeit-Bewertungseinrichtung vergrößert, welche schließlich den Wert  $0_k \log(1 - \hat{p}_k/\hat{p}_k)$  für jedes Bit  $u_k$  als den Soft-Decision-Wert liefert. Hierbei soll die zusätzliche Komplexibilität so klein wie möglich gehalten werden. Ferner sollen Soft Decisions zum selben Zeitpunkt  $k$  erhalten werden, an welchem die Entscheidung von  $u_k$  verfügbar ist, um weitere Verzögerungen zu vermeiden.

Hinsichtlich des Empfängers erfolgt der Einfachheit halber eine Beschränkung auf Netzdiagramme mit zwei Zweigen, die an jedem Knotenpunkt enden. Dies schließt gelochte K/N-Codes ein, welche von einem  $1/n$ -Code ausgehen, da sie das Netzdiagramm des  $1/n$ -Codes benutzen. Die Anzahl von Zuständen  $S$  des Decoders ist  $S = 2^v$ , wobei  $v$  das Codegedächtnis ist; es sind jedoch auch Decoder mit reduzierter Zustandsanzahl möglich.

Der klassische Viterbi-Algorithmus trifft eine endgültige Entscheidung mit einer Verzögerung, wobei groß genug ist, so daß alle  $2^v$ -Überlebenspfade mit einer ausreichend hohen Wahrscheinlichkeit zusammengelaufen sind. Wie in Fig. 2 dargestellt, hat der Viterbi-Algorithmus je einen Überlebenspfad für den Zustand  $s_k$  zum Zeitpunkt  $k$ , wobei  $1 \leq s_k \leq S = 2^v$  ist. Dies geschieht durch Auswählen des Pfads mit der maximalen Wahrscheinlichkeits-Metrik, welche für den Gaußschen Kanal der Logarithmus der Gaußschen Wahrscheinlichkeitsdichte ist.

$$M_m = - \frac{E_s}{N_0} \sum_{j=k-\delta}^k \sum_{n=1}^N (y_{jn} - x_{jn}^{(m)})^2, \quad m = 1, 2, \quad (4)$$

wobei  $x_{jn}^{(m)}$  das  $n$ -te Bit von  $N$  Bits in dem Zweig für den  $m$ -ten Pfad zum Zeitpunkt  $j$  ist,  $y_{jn}$  der empfangene Wert an derselben Position ist, und  $E_s/N_0$  das Signal-Rauschleistungsverhältnis (SNR) ist. Mit Hilfe dieser Formel ergibt sich dann:

$$\text{Prob}\{\text{path } 1\} \sim e^{M_1}$$

$$\text{Prob}\{\text{path } 2\} \sim e^{M_2}, \quad (5)$$

wenn der Pfad mit der höheren Metrik mit  $m = 1$  bezeichnet wird. Dies bedeutet dann  $M_1 \geq M_2$ , was wiederum beinhaltet, daß der Viterbi-Algorithmus den Pfad 1 auswählt. Die Wahrscheinlichkeit, daß der falsche Überlebenspfad gewählt wird, ist dann:

$$p_{sk} = \frac{e^{M_2}}{e^{M_1} + e^{M_2}} = \frac{1}{1 + e^{M_1 - M_2}} = \frac{1}{1 + e^{\Delta}}, \quad \Delta = M_1 - M_2 \geq 0. \quad (6)$$

Der Wert von  $p_{sk}$  ist 0,5, wenn  $L_1 \approx L_2$  ist, und nähert sich 0, wenn  $L_1 \gg L_2$  ist. Mit dieser Wahrscheinlichkeit  $p_{sk}$  hat der Viterbi-Algorithmus Fehler an all den  $e$ -Positionen gemacht, wo die Informationsbits des Pfads 2 sich von dem Pfad 1 unterscheiden.

$$u_j^{(1)} \neq u_j^{(2)}, \quad j = j_1, \dots, j_e \quad (7)$$

Positionen, an welchen  $u_j^{(1)} = u_j^{(2)}$  ist, werden nicht beeinflusst. Der Wert  $\delta_m$  soll die Länge dieser beiden Pfade sein, bis sie zusammentreffen. Es ergeben sich dann  $e$  verschiedene Informationswerte und  $(\delta_m - e)$  nicht-verschiedene Werte. Wenn nunmehr die Wahrscheinlichkeiten  $p_j$  von vorherigen fehlerhaften Entscheidungen beim Pfad 1 gespeichert worden sind, dann werden diese Wahrscheinlichkeiten für die  $e$  differierenden Entscheidungen auf diesem Weg entsprechend

$$p_j = p_j(1 - p_{sk}) + (1 - p_j)p_{sk}, \quad j = j_1, \dots, j_e \quad 0 \leq p_j \leq 0,5. \quad (8)$$

aktualisiert. Um dies durchzuführen, sind die Informationsbits der beiden Pfade miteinander zu vergleichen, um die Stellen festzulegen, wo sie sich unterscheiden. Hierbei ist jedoch zu beachten, daß die ersten  $v$  Bits gleich sind, da beide Wege in demselben Bit-Zustand enden. Für alle Zustände kann ein Zeiger  $\delta_p$  gespeichert werden, um die maximale Länge von nicht ineinander übergegangenen Wegen anzuzeigen und um nur von  $j = k - v$  bis  $j = k - \delta_p$  zu suchen. Ebenso könnte die Rekursion unmittelbar entsprechend dem Wahrscheinlichkeitsverhältnis durchgeführt werden:

$$L_k = \log \frac{1 - p_k}{p_k}, \quad 0 \leq L_k < \infty \quad (9)$$

Mit Hilfe von Gleichungen (6), (8) und (9) wird nach einer entsprechenden Umformung erhalten:

$$L_j := f(L_j, \Delta)$$

$$f(L_j, \Delta) = \frac{1}{\alpha} \log \frac{1 + e^{(\alpha L_j + \Delta)}}{e^{\Delta} + e^{\alpha L_j}}, \quad \Delta = M_1 - M_2 \geq 0, \quad j = j_1, \dots, j_r. \quad (10)$$

Die Funktion  $f(L_j, \Delta)$  sollte mit  $L_j$  und  $\Delta$  als Eingangsveränderlichen tabelliert werden und muß nicht bei jedem Schritt berechnet werden. Der Faktor  $\alpha$  verhindert ein Überlaufen bei großem Signal-Rauschleistungs-Verhältnis. Die richtige Wahl des Faktors  $\alpha$  ist:

$$\alpha = 4d_{\text{free}} \frac{E_s}{N_0}, \quad (11)$$

wobei  $d_{\text{free}}$  der freie Abstand des Codes ist.

Die Funktion kann auch angenähert werden durch

$$f(L_j, \Delta) = \min(L_j, \Delta/\alpha), \quad (11a)$$

Der Soft-Deciding-Viterbi-(SDV-)Algorithmus kann nunmehr gebildet werden:

Speicherung

$$\begin{aligned} K & \quad \text{(Zeitindex, Modulo } \delta + 1) \\ \hat{u}(s_k) &= \{\hat{u}_{k-\delta}(s_k), \dots, \hat{u}_k(s_k)\}, \quad 1 \leq s_k \leq S \quad \text{(Hard-Decision-Werte, } \hat{u}_k \in \{\pm 1\}) \\ & \quad \text{(Zuverlässigkeitswerte, (*))} \\ \hat{L}(s_k) &= \{\hat{L}_{k-\delta}(s_k), \dots, \hat{L}_k(s_k)\}, \quad 1 \leq s_k \leq S \quad \text{Soft Decisions, } 0 \leq \hat{L} \leq \infty \\ \Gamma(s_k), & \quad 1 \leq s_k \leq S \quad \text{(akkumulierte metrische Werte = Überlebenskosten)} \end{aligned}$$

Initialisierung

$$\begin{aligned} \hat{u}(s_k) &= 0, & 1 \leq s_k \leq S \\ \hat{L}(s_k) &= +\infty, & 1 \leq s_k \leq S \quad (*) \\ \Gamma(s_0) &= 0, \quad \Gamma(i) = +\infty & i \neq s_0. \end{aligned}$$

Rekursion

a) klassischer Viterbi-Schritt:

Für jeden Zustand  $s_k$  ist für beide Übergänge  $(s_{k-1}, s_k)$  zu berechnen:

$$\Gamma(s_{k-1}, s_k) = \Gamma(s_{k-1}) + \frac{E_s}{N_0} \sum_{n=1}^N (y_{kn} - x_{kn}^{(m)})^2.$$

Zu finden ist dann:  $\Gamma(s_k) = \min \Gamma(s_{k-1}, s_k)$ .

Zu speichern ist:  $\Gamma(s_k)$  und der entsprechende Überlebenswert  $\hat{u}_k(s_k)$ .

b) Aktualisierter Soft-Deciding-Wert(\*)

Für jeden Zustand  $s_k$  ist zu berechnen:

$$\Delta = \max \Gamma(s_{k-1}, s_k) - \min \Gamma(s_{k-1}, s_k).$$

Zu initialisieren ist:

$$\hat{L}_k(s_k) = +\infty.$$

Für  $j = k - \nu$  bis  $j = k - \delta_m$  sind die zwei Wege zu vergleichen, welche bei  $s_k$  ineinander übergehen, wenn  $\hat{u}_j^{(1)}(s_j) \neq \hat{u}_j^{(2)}(s_j)$ ; hierdurch wird dann  $\hat{L}_j = f(\hat{L}_j, \Delta)$ .

c) Endgültige Entscheidung:

Ein Zustand  $s_{k \text{ opt}}$  mit minimalem  $\Gamma(s_k)$  ist zu finden.

Die harte Entscheidung ist dann  $\hat{u}_{k-\delta}(s_{k \text{ opt}}) \in \{\pm 1\}$ .

Die Soft-Decision ist dann  $\hat{u}_k - \delta(s_{k \text{ opt}}) \cdot \hat{L}_k - \delta(s_{k \text{ opt}}) \in R$ . (\*)

d) Der Wert  $k$  ist auf den Wert  $k+1 \bmod \delta+1$  zu setzen und dann zu wiederholen.

#### Bemerkungen

Nur durch die mit (\*) gekennzeichneten Schritte ist der klassische Viterbi-Algorithmus gemäß der Erfindung ergänzt. Zur besseren Erläuterung des Algorithmus werden die Hard- und Soft-Decision-Werte in zwei verschiedenen Feldern der Länge  $\delta+1$  gespeichert. (Siehe Fig. 4.). Hierbei können die Hard-Decision-Werte als die Vorzeichen der Soft-Decision-Werte betrachtet werden.

Die Speicherung wird Modulo  $\delta+1$  durchgeführt, um Nachrichten beliebiger Länge zuzulassen. Natürlich kann die endgültige Entscheidung zuerst getroffen werden und danach kann die freie Position durch die aktuellen Werte überschrieben werden. Dies bedeutet eine Modulo  $\delta$ -Operation und führt zu einer Reduzierung hinsichtlich der Speichergröße. Eine Initialisierung mit  $+\infty$  bedeutet den höchstmöglichen Wert.

Additive Metriken haben die Eigenschaft, daß eine von  $y$  unabhängige Multiplikation oder Addition die Entscheidung nicht ändert. Hierdurch wird es möglich,

$$\Gamma(s_{k-1}, s_k) = \Gamma(s_k) - 2 \frac{E_s}{N_0} \sum_{n=1}^N y_{kn} \cdot x_{kn}^{(m)}. \quad (12)$$

zu aktualisieren.

Da  $x_{kn} \in \{\pm 1\}$  gilt, kann eine Realwert-Multiplikation vermieden werden. Darüber hinaus ist es möglich, den Faktor  $2 E_s/N_0$  fallenzulassen und diesen Term in der Berechnung von  $\Delta$  entweder durch Multiplikation oder durch Erweitern der aktuellen Tabelle auf die Form  $f(L_k, \Delta, E_s/N_0)$  auszukommen. Ein Langzeit-Signal-Rauschleistungs-Verhältnis muß mit Hilfe bekannter Verfahren berechnet werden. Eine schlechte Schätzung wirkt sich jedoch nur geringfügig auf die Leistung aus und beeinflusst nicht das Vorzeichen der Entscheidungen.

Anstelle der optimalen Prozedur, wie sie oben beschrieben wurde, bieten sich zwei modifizierte, aufwandsgünstige Lösungen an:

- 1) Es wird der Zustand mit der günstigsten Metrik gesucht, und nur der ML-Pfad wird aufgefrischt. Dadurch erfolgt eine Reduktion der "soft"-Auffrischung um den Faktor 2.
- 2) Die Suche erfolgt generell nur im Bereich von  $j = k - \nu$  bis  $j = k - \delta'$  mit  $\delta' < \delta_m \leq \delta$ .

Schließlich ist noch festzustellen, daß die klassische Viterbi-Recursion mit Hilfe der Standardlösungen normiert werden kann. Die neuesten Soft-Deciding-Werte erfordern, abgesehen vom Wert  $\alpha$ , keine weitere Normierung.

#### Technische Realisierung

Wie in Fig. 4 schematisch angedeutet ist, besteht bei einer  $n_s$  Bit-Soft-Decision und einer Festpunkt-Arithmetik jeder Überlebenspfad der Länge  $\delta$  aus  $n_s \cdot \delta$  Bits. Das erste der  $n_s$  Bits ist das Vorzeichenbit oder das Hard-Decision-Bit. Die Wahrscheinlichkeitswerte sind dann  $L_k \in \{0, 1, \dots, 2^{n_s-1} - 1\}$ .  $L_k = 0$  zeigt den unzuverlässigsten Wert an und  $L_k = 2^{n_s-1} - 1$  gibt den zuverlässigsten Wert an. Wenn die Metrik-Differenz  $\Delta$  gegeben ist, welche mit  $n_\Delta$  Bits quantisiert worden ist, ist der aktualisierte Wahrscheinlichkeitswert in der in Fig. 6 dargestellten Tabelle gegeben. Die Tabelle wird nur einmal mit Hilfe der Gleichung (10) berechnet und dann in einem ROM-Speicher gespeichert. Folglich ist der zusätzliche Aufwand des Soft-Deciding-Viterbi-(SDV-)Algorithmus bezüglich des Viterbi-Algorithmus:

Speicherung:

- $2^\nu \cdot \delta \cdot n_s$  Bits anstelle von  $2^\nu \cdot \delta$  Bits
- Verweistabelle mit  $2^{n_\Delta} + n_s - 1$  Vektoren mit jeweils  $n_s - 1$  Bits.

Berechnungs-Aufwand:

- Maximal  $2^\nu \cdot (\delta - \nu)$  Bit-Vergleiche
- $2^\nu \cdot e$  Tabellenverweise, um  $L_k$  zu aktualisieren.
- Langfristiger Kanalschätzwert zur Berechnung des Signal-Rauschleistungs-Verhältnisses.

Der Datentransfer wird im einzelnen nachstehend noch erläutert.

Die Größe  $e$  ist eine Zufallszahl und hängt von dem Kanalrauschen und der Code-Struktur ab. Für ein hohes Signal-Rauschleistungs-Verhältnis gilt:

$$e = \frac{\tilde{c}_{dfree}}{a_{dfree}}, \quad (13)$$

wobei  $c_{dfree}$  die Gesamtanzahl an Bitfehlern in allen  $a_{dfree}$ -Pfadern mit freiem Abstand  $d_{free}$  normiert auf ein

Informationsbit, ist. Für ein niedriges Signal-Rauschleistungs-Verhältnis ist die Größe  $e$  nach oben begrenzt durch

$$\frac{1}{2}(\delta - \nu) \quad (14)$$

Der Soft-Deciding-Viterbi-(SDV-)Algorithmus kann in einer "Pipeline"-Struktur durchgeführt werden (wobei mit einer Symbolrate  $1/T$  getaktet wird (siehe Fig. 3)). Folglich ist eine sehr schnelle Durchführung möglich. Die hierfür erforderlichen Einheiten sind eine Metrik-Inkrement-Einheit (Transition Metric-Unit (TMU)), eine Addier-Vergleich-Auswahl-(ACS-) Einheit und ein Pfad-RAM (einschließlich einer Pfad-Auffrisch-Einheit (PAU)). Hierbei gibt es keine Wechselwirkung zwischen der ACS-Einheit und dem Pfadspeicher-RAM.

Für jedes empfangene Symbol  $y_k$  berechnet die TMU-Einheit die Metrik-Inkmente für alle möglichen Übergänge. Diese Einheit ist dieselbe wie die entsprechende Einheit in einem herkömmlichen Viterbi-Algorithmus. Es ist nur eine andere TMU-Einheit hinzuzufügen, wenn der (Soft-Deciding-)Viterbi-Algorithmus als Demodulator, Decoder oder Entzerrer arbeitet.

Die TMU-Einheit liefert die Metrik-Inkmente an die ACS-Einheit, welche die Metrik-Aktualisierung durchführt (siehe Gleichung (12)). Die ACS-Einheit bleibt auch unverändert im Vergleich mit dem herkömmlichen Viterbi-Algorithmus. In Viterbi-Algorithmen ist die ACS-Einheit der Engpaß. Diese Einheit begrenzt die Geschwindigkeit, da jede Rekursion beendet sein muß, bevor die nächste starten kann. Ein weiteres Pipelining dieser Einheit ist unmöglich. Daher wird bei zeitkritischen Anwendungen diese Einheit für jeden Zustand in paralleler Form ausgeführt. Die einzige Modifikation der ACS-Einheit für den Soft-Deciding-Viterbi-Algorithmus gehört zu der Berechnung von  $\Delta$ , welche lediglich eine  $n$ -Bit-Subtraktion ist, und der größere Datentransfer zwischen der ACS-Einheit und der Pfadspeicher-Einheit von  $(1 + n_\Delta)$  Bits statt einem Bit.

Schließlich werden die Daten in dem Pfad-RAM gespeichert; nur diese Speicher-Einrichtung muß daher geändert werden. Normalerweise wird die Information in jedem Zustand decodiert und das bzw. die Informations-Bit(s) wird bzw. werden zusammen mit der Folge gespeichert, die zu dem vorherigen Zustand geführt hat. Nun werden jedoch nicht nur die harten Informationsbits, sondern auch ein Vektor von  $n_s$  Bits gespeichert, welcher auch die Zuverlässigkeitsinformation enthält.

Ein Blockdiagramm eines modifizierten Pfad-RAM ist in Fig. 4 dargestellt. Er ist als eine  $2^\nu \cdot \delta \cdot n_s$ -Matrix organisiert, wobei  $2^\nu \cdot \delta$  Bits zu den Hard-Decisions gehören, während der Rest die Zuverlässigkeitsinformation ist.

Die Soft-Deciding-Aktualisierung ist in Fig. 5 dargestellt. Es werden zwei Pfade angenommen, welche zum Zeitpunkt  $k$  divergieren und zum Zeitpunkt  $k - \delta_m$  wieder zusammenkommen. (Siehe Fig. 2 und 4.) Eine sogenannte Pfad-Auffrisch-Einheit (PAU) wird verwendet, welche über die gespeicherten Informationsbits "gleitet". Der Bereich, wo die Informationsbits  $u^{(1)}$  und  $u^{(2)}$  verschieden sein können, ist  $j = k - \delta_m$  bis  $j = k - \nu$ . In all den Fällen, in welchen die Bits beim Tabellenlesen verschieden sind, wird über Gleichung (10) deren Aktualisierung ermöglicht. Das Freigabesignal wird einfach durch ein XOR-Gate erzeugt (siehe Fig. 6).

Diese serielle Realisierung begrenzt den Schaltungsaufwand, verlangsamt aber die Geschwindigkeit. Jedoch kann die Pfad-Auffrisch-Einheit (PAU) auch in paralleler Form, z. B. in  $(\delta - \nu)$  gesonderten Einheiten pro Zustand realisiert werden. Dann hat jede Einheit nur ein Bit-Paar zu vergleichen und (höchstens) eine Tabellen-Auffrischung für jedes Symbol durchzuführen. Wenn dies mit der Einheit ASC verglichen wird, in welcher Operationen mit reellen Zahlen durchzuführen sind, dann bleibt die Einheit ASC der Engpaß. Der Soft-Deciding-Viterbi-Algorithmus begrenzt nicht die Geschwindigkeit.

Die endgültige Entscheidung unterscheidet sich nicht von dem herkömmlichen Register-Austauschverfahren; lediglich der Datentransfer ist um einen Faktor  $n_s$  größer.

#### Anwendungsmöglichkeiten der Erfindung

Der erfindungsgemäße Viterbi-Algorithmus mit Analog-Entscheidungen (SDVA) arbeitet besser als ein herkömmlicher Viterbi-Decoder, -Demodulator oder -Entzerrer, wenn eine Verkettung gegeben ist. Dies kann einschließen Modulationen mit Gedächtnis, z. B. eine Trellis-codierte Modulation (TCM), oder Modulationsverfahren mit konstanter Einhüllender, wie CPM (Continuous Phase Modulation) oder TFM (Tamed FM), Kanäle mit Speicher, z. B. Filterkanäle mit Nachbarsymbol-Interferenz (ISI), frequenz-selektive Kanäle oder auch Speichermedien, wie magnetische Aufzeichnungen; ein Codieren mit Speicher, z. B. Faltungscodes, und alle möglichen Kombinationen daraus.

Im folgenden werden einige Anwendungen von praktischem Interesse beschrieben. Von der Anmelderin wurde der Nutzeffekt des erfindungsgemäßen Viterbi-Algorithmus mit Analogwert-Entscheidungen (SDVA) untersucht und die Ergebnisse wurden mit dem SD-MAP-Algorithmus verglichen, welcher der optimale symbolweise Empfänger ist. Auch wurden umfassende Computer-Simulationen durchgeführt. Die Ergebnisse zeigen, daß die Verschlechterung des SDV-Algorithmus im Vergleich zum SD-MAP-Algorithmus in der Größenordnung von 0,2 dB liegt. Jedoch ist der Gewinn verglichen mit den Hard-Decisions 2 dB bis 6 dB.

Ein verkettetes Codieren mit inneren und äußeren Faltungscodes ist ebenfalls sehr vielversprechend. Bei dem inneren Code werden die soft-quantisierten empfangenen Abtastwerte verwendet, die im Falle von Kanälen mit Gedächtnis möglicherweise durch die Verwendung von Kanalzustandsinformation verbessert werden können. Mit den vorstehend erwähnten Empfängern kann auch der äußere Decoder eine Soft-Decision-Maximum-Likelihood-Decodierung durchführen.

Beispielsweise wurde als innerer Code der Code mit  $R = 1/2$  und  $\nu = 3$  verwendet, und als äußerer Code der



punktierte (gelochte) Code mit  $R = 2/3$  und  $v = 3$  verwendet (siehe Tabelle 1). Beide Codes wurden durch Spreizung getrennt. Die Gesamtcoderate ist  $R = R_i \cdot R_0 = 1/3$ .

Da alle Codes von demselben Muttercode abgeleitet werden, sind die Netzdiagramme dieselben und vorteilhafterweise werden beide Codes entsprechend verarbeitet, die denselben Viterbi-Algorithmus nutzen, bei welchem der neue soft-verbesserte Empfänger für den inneren Code und der herkömmliche Viterbi-Algorithmus für den äußeren Code verwendet wird. Auch ist bereits eine Struktur geschaffen, bei welcher in effizienter Weise ebenfalls das Spreizen gemeinsam genutzt wird.

Im Ergebnis sind dann die Bitfehler-Kurven steiler und folglich vielversprechender. Dies gilt bei Verknüpfen von zwei Codes im Vergleich zu einem einzelnen Faltungscodes einer Rate von  $1/3$  und derselben Empfänger-Komplexität. Der Gewinn ist  $0,7$  dB bei  $P_b = 10^{-5}$ . Eine Verknüpfung ohne die Verwendung von Soft-Decisions ist aussichtslos.

Hinsichtlich einer optimalen Aufteilung zwischen dem inneren und äußeren Code wurden mehrere niederratige, raten-kompatible, gelochte Codes (RCPC-Codes) als innere Codes und ausgewählte hochratige gelochte Codes so verwendet, daß die Gesamtrate  $R = R_i \cdot R_0 = 1/3$  erhalten blieb ( $R_i \leq R_0 \leq 1$ ). Die wichtigsten Parameter der ausgewählten Codes sind in der am Ende der Beschreibung angegebenen Tabelle 2 aufgelistet. Simulationen haben gezeigt, daß für niedrige Signal-Rauschleistungs-Verhältnisse der äußere Code mit der höchsten Rate erwartungsgemäß am besten arbeitet. Jedoch ist in dem interessierenden SNR-Bereich die Aufteilung von  $R_i = 1/2$  und  $R_0 = 2/3$  die beste.

Auch bei Faltungscodes besteht in einer optimalen und eleganten Weise die Möglichkeit einer Soft-Decision-Decodierung. Auch gibt es einfache Blockcodes, die mit "soft decisions" decodiert werden können. Solche Codes sind z. B. Parity Check Codes oder Golay Codes. Solche Codes können dem SDV-Algorithmus nachgeschaltet werden und führen als Stufendecodierung zu erheblichen Verbesserungen.

Eine mögliche Anwendung dieser Kombination von Faltungscodes ist die Kanalcodierung in dem GSM-System. Hierbei wird die Codierung (bei "full rate speed") üblicherweise auf folgende Weise durchgeführt: Ein Block von 260 netto Sprachbits wird in drei Empfindlichkeits- oder Sensibilitätsklassen zusammengefaßt. Die 50 Bits der empfindlichsten Klasse (Klasse 1a) werden um 3 Paritätsbits vergrößert, um unkorrigierbare Fehler festzustellen. Bei einem Fehler wird gewöhnlich der gesamte Block ignoriert und es findet eine Interpolation statt. Es soll nun ein "partieller Soft-Deciding-Viterbi-Algorithmus" mit Parity-Check angenommen werden, welcher Soft-Decisions nur bei Bits der Klasse 1a und Hard-Decisions für die restlichen Bits der Klasse 1b liefert. Dann kann ein Soft-Decision-Parity Check durchgeführt werden, der gegebenenfalls weitere Fehler korrigiert.

Alternativ kann, wenn Fehler durch den Parity Check festgestellt werden, eine Überlagerung (Maximum-Ratio Combining) mit dem "soft"-Wert  $m^{*k(-1)}$  des vorherigen Blocks durchgeführt werden:

$$x_k = (x_k + x_k^{(-1)})/2.$$

Dies kann gegebenenfalls auch durch Kanalzustandsinformationen  $q_k$  verbessert werden:

$$x_k = (q_k x_k + q_k^{(-1)} x_k^{(-1)})/2.$$

Dadurch wird eine "weiche" Kombination statt einer "harten" Interpolation erreicht.

Codierte Modulation ist in den letzten Jahren auf großes Interesse gestoßen. Der Grund hierfür ist die Bandbreiten-Effizienz. Im Unterschied hierzu führen Faltungscodes zu einer Bandbreitendehnung, welche proportional der Code-Rate ist, wenn die Anzahl der Elemente des Symbolraumes unverändert bleibt.

Hierzu wurde die Leistungsfähigkeit des Ungerboeck-Codes mit 4 Zuständen und der Rate von  $2/3$  untersucht. Das Signal sei durch weißes Gaußsches Rauschen gestört, und wird mittels des Soft-Deciding-Viterbi-Algorithmus verarbeitet. Die modifizierte Gaußsche Wahrscheinlichkeitsmetrik liest sich dann (im Vergleich zu Gleichung (4)) folgendermaßen:

$$M_m = \frac{E_s}{N_0} \sum_k |y_k - x_k^{(m)}|^2, \quad (15)$$

wobei  $x_k^{(m)}$  das komplexe Symbol des  $m$ -ten Pfades ist, welcher dem Netzdiagramm entspricht, und  $y_k$  der empfangene komplexe Wert zur selben Zeit  $k$  ist, wobei  $x_k^{(m)}$  und  $y_k$  in komplexer Schreibweise angeführt sind. Im Ergebnis ist dann das Signal-Rauschleistungs-Verhältnis (SNR) des Soft-Deciding-Viterbi-Algorithmus viel besser als am Eingang (üblicherweise um mehr als 3 dB). Mit diesem verbesserten Signal-Rauschleistungs-Verhältnis (SNR) arbeitet dann ein Decoder in der nächsten Stufe viel besser.

Das Entzerren ist eine Herausforderung bei schnellen digitalen Übertragungen über zeit-dispersive Kanäle, z. B. Mobilfunkkanäle. Hierbei führt der Viterbi-Entzerrer die gewünschte maximal wahrscheinliche Folgenbewertung durch. Jedoch ist in codierten Systemen die Schwierigkeit offensichtlich, daß der Viterbi-Entzerrer Hard-Decisions an den äußeren Decoder liefert.

Es wurde daher der SDV-Algorithmus und der SD-MAP-Algorithmus bei frequenzselektiven Fading-Kanälen untersucht. Für den Kanal wurde eine mit Abgriffen versehene Verzögerungsleitung mit  $(L + 1)$  unabhängigen Verstärkungsfaktoren angenommen. Dieser Kanal, der eine Idealisierung des mobilen Mehrwegkanals darstellt, kann als der innere Code angesehen werden. Die modifizierte Gaußsche Wahrscheinlichkeitsmetrik liest sich dann (im Vergleich zu Gleichung (4)) folgendermaßen:

$$M_m = \frac{\bar{E}_s}{N_0} \sum_k |y_k - \sum_{l=0}^L f_k^{(l)} x_{k-l}^{(m)}|^2, \quad (16)$$

- 5 wobei  $x_k^{(m)}$  das Symbol für den  $m$ -ten Weg ist, welcher dem Netzdiagramm entspricht,  $f_k^{(l)}$  der  $l$ -te Verstärkungsfaktor ist (wobei  $0 \leq l \leq L$  gilt, wenn  $y_k$  der empfangene Wert zum selben Zeitpunkt  $k$  ist, wobei  $x_k^{(m)}$ ,  $y_k$  und  $f_k^{(l)}$  in komplexer Schreibweise erscheinen. Der Wert  $E_s/N_0$  ist der mittlere Signal-Rauschleistungs-Verhältniswert. Es zeigt, daß die Veränderliche am Ausgang des SDV-Algorithmus und des SDMAP-Algorithmus zumindest in
- 10 dem interessierenden Signal-Rauschleistungs-Verhältnis-Bereich annähernd eine Gaußsche Verteilung aufweist. Dies zeigt an, daß der frequenz-selektive Fading-Kanal in einen AWGN-Kanal transformiert wird, wenn die Spreizung groß genug ist. Als äußerer Code wurde ein Faltungscodes der Rate 1/2 mit einem Gedächtnis  $\nu = 3$  gewählt (siehe Tabelle 1). Der Gewinn bei dem SDV-Algorithmus und bei dem SDMAP-Algorithmus liegt jeweils bei  $P_b = 10^{-3}$  in der Größenordnung von 4 dB im Vergleich zu den Hard-Decisions. Ähnliche Ergebnisse
- 15 wurden für Trellis-Codes als äußere Codes hergeleitet. Wie erwartet, ist der Gewinn infolge Soft-Decisions um so größer, je schlechter der Kanal ist. Deswegen ist ein erfindungsgemäßer Soft-Deciding-Viterbi-Empfänger vor allem bei Fading-Kanälen in besonders vorteilhafter Weise zu verwenden.

Tabelle 1

Code-Parameter für Faltungscodes

Code	$i$	$d_i$	$\tilde{C}_{di}$
$R = 1/3$	0	10	6
	1	11	0
	2	12	6
	3	13	0
	4	14	58
$R = 1/2$	0	6	2
	1	7	7
	2	8	18
	3	9	49
	4	10	130
$R = 2/3$	0	4	5
	1	5	21,5
	2	6	100
	3	7	413
	4	8	1657

 $R = 1/3, R = 1/2:$  $R = 2/3:$ 

Gedächtnis:

Generatorpolynome:

 $d_i:$  $\tilde{C}_{di}:$ 

Muttercodes

punktierter Code

 $\nu = 3$ 

15, 17, 13 (in oktaler Schreibweise)

Distanzspektrum

Informations-Gewichtsspektrum (wobei  $\tilde{C}_{di}$  auf jedes Informationsbit normiert ist)

Tabelle 2  
Code-Parameter für punktierte Faltungscodes

Innerer Code			Äußerer Code		
$R$	$d_{free}$	$\hat{C}_{free}$	$R$	$d_{free}$	$\hat{C}_{dfree}$
1/2	6	2	2/3	4	5
4/9	6	0,5	3/4	4	41,3
2/5	7	1	5/6	3	12,6
8/21	7	0,25	7/8	2	0,6

Innere Codes:	punktierte Codes
Äußere Codes:	punktierte Codes
Gedächtnis:	$v = 3$
Generator-Polynome:	15, 17, 13 (in oktaler Schreibweise)
$d_{free}$ :	Distanzspektrum
$\hat{C}_{dfree}$ :	normierte Anzahl von Bitfehlern des Minimum-Distanzpfades (pro Informationsbit)

#### Patentansprüche

1. Verfahren zur Verallgemeinerung des Viterbi-Algorithmus, bei welchem in einer Metrik-Inkrement-Einheit (TMU) die Übergangskosten gebildet werden und in der nachgeschalteten Addier-Vergleich-Auswahl-(ACS-)Einheit ein Addieren, ein Vergleichen sowie ein Auswählen vorgenommen werden, **dadurch gekennzeichnet**, daß

für jeden Zustand die Differenzkosten von zwei eintreffenden Pfaden berechnet werden, wobei eine Zuverlässigkeitsinformation am Anfang jedes Pfades auf den höchsten Wert festgelegt wird, dann der Zuverlässigkeitswert des Pfades mit den kleinsten Kosten an den Stellen aufgefrischt wird, wo die Informationsstellen von dem konkurrierenden Pfad abweichen, wobei das Auffrischen gemäß einer Tabelle vorgenommen wird und wobei der vorherige Wert der Zuverlässigkeitsinformation und die Differenzkosten ( $\Delta$ ) als Eingangsgröße in der Tabelle angelegt werden, hierauf der neue Wert aus der Tabelle entnommen wird und zusammen mit harten Entscheidungen als Pfadgedächtnis abgespeichert wird, wobei das Abspeichern in Form von Fest- oder Gleitpunkt-Werten erfolgt, und

schließlich die Analogwertentscheidung aus der Stelle herausgelesen wird, die sich nach einer Entscheidungsverzögerung ( $\delta$ ) für den Pfad mit den kleinsten Kosten ergibt, wobei das Vorzeichen der Analogwert-Entscheidungen die harten Entscheidungen des bekannten Viterbi-Algorithmus sind.

2. Verfahren zum Modifizieren des Viterbi-Algorithmus nach Anspruch 1, dadurch gekennzeichnet, daß zum Auffrischen der Zuverlässigkeitsinformation das Minimum aus der alten Zuverlässigkeitsinformation und — durch Einführen eines Faktors ( $\alpha$ ) — den normierten Pfad-Differenzkosten ( $\Delta/\alpha$ ) gebildet wird und als Pfadgedächtnis abgespeichert wird.

3. Verfahren nach Anspruch 1 oder Anspruch 2, dadurch gekennzeichnet, daß zum Pfadauffrischen eine Pfad-Auffrischeinheit (PAU) in einem gewissen Bereich ( $k - v$  bis  $k - \delta_p$  mit  $v \leq \delta_p \leq \delta_m$ ) die Informationsbits der beiden konkurrierenden Pfade auf Gleichheit überprüft und bei einer Ungleichheit den Auffrischvorgang aktiviert, wobei mit  $k$  ein Zeitindex, mit  $v$  ein Codegedächtnis und mit  $\delta$  eine Verzögerung bzw. Eindringtiefe bezeichnet sind.

4. Einrichtung zum Durchführen der Verfahren nach den Ansprüchen 1 bis 3, mit einer Metrik-Inkrement-Einheit (TMU), in welcher die Kosten gebildet werden, und mit einer Addier-Vergleich- und Auswahl-(ACS-)Einheit, in welcher ein Addieren, ein Vergleichen sowie ein Auswählen vorgenommen werden, dadurch gekennzeichnet, daß der Addier-Vergleich-Auswahl-(ACS-)Einheit ein Pfad-RAM sowie eine Pfad-Auffrischeinheit (PAU) nachgeschaltet sind, um zum Pfadauffrischen in einem bestimmten Bereich ( $k - v$  bis  $k - \delta_m$ ) die Informationsbits der beiden konkurrierenden Pfade auf Gleichheit zu überprüfen, und um bei Ungleichheit den Auffrischvorgang in dem Pfad-RAM zu aktivieren.

5. Einrichtung nach Anspruch 4, gekennzeichnet durch eine Einrichtung zum Normieren des Auffrischens der Zuverlässigkeitsinformation durch Einführen eines Faktors ( $\alpha$ ), um dadurch einer Festkomma-Darstellung zu genügen, und um einen Überlauf zu vermeiden.

6. Einrichtung nach einem der Ansprüche 4 oder 5, dadurch gekennzeichnet, daß für jeden von  $S$ -Zuständen jeweils eine Pfad-Auffrischeinheit (PAU) in der Weise vorgesehen ist, daß durch diese Parallelanordnung bezüglich des Vorsehens nur einer einzigen Pfad-Auffrischeinheit (PAU) Zeitgewinne in der Größe eines Faktors  $S$  erzielt werden.

7. Einrichtung nach einem der Ansprüche 4 bis 6, dadurch gekennzeichnet, daß für jedes Zeitintervall ( $k - v$  bis  $k - \delta_p$ ) eine gesonderte Pfad-Auffrischeinheit (PAU) in der Weise vorgesehen ist, daß durch eine derartige Parallelanordnung Zeitgewinne in der Größe eines Faktors ( $v - \delta_p$ ) erzielbar sind.

Hierzu 4 Seite(n) Zeichnungen

— Leerseite —

**THIS PAGE BLANK (USPTO)**

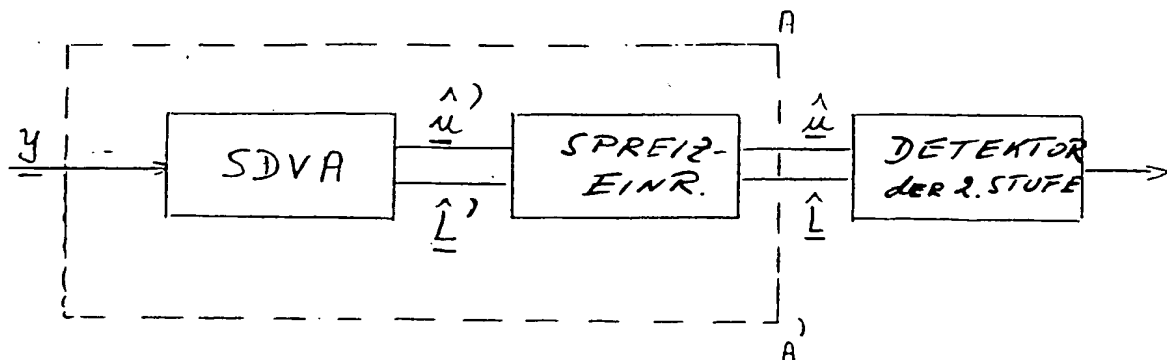


Fig. 1

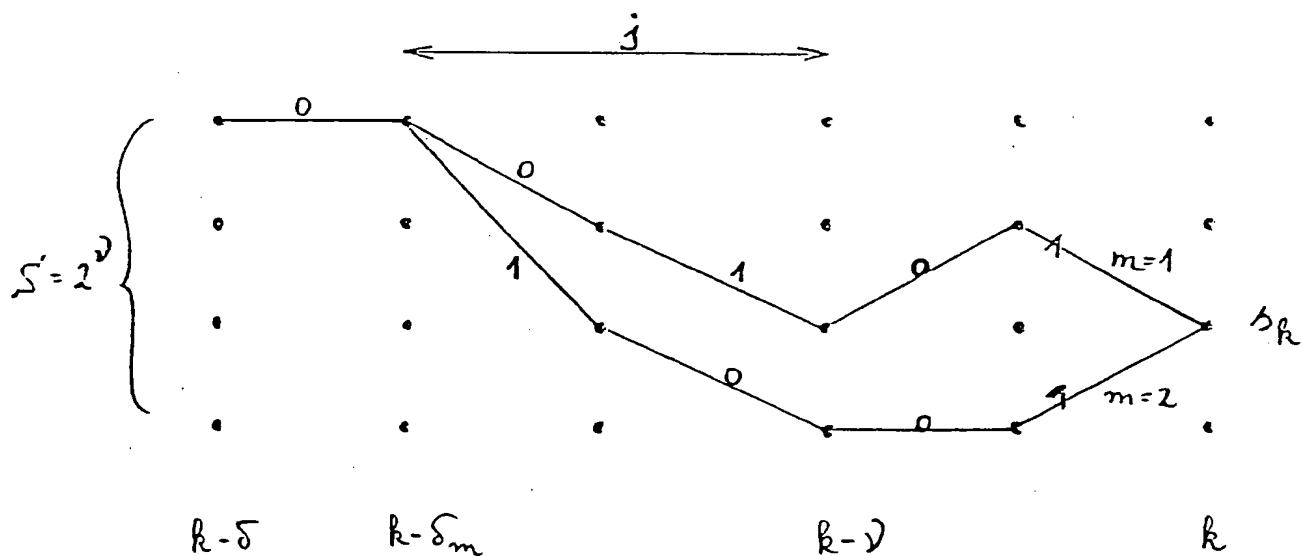


Fig. 2

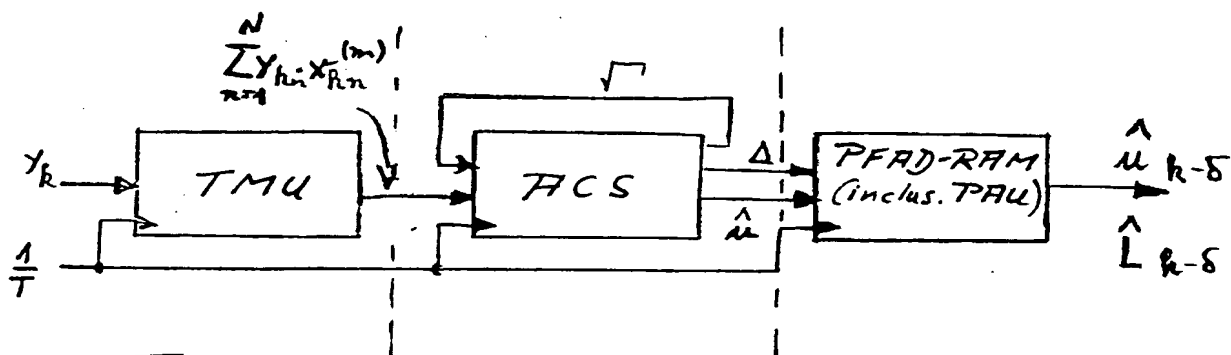


Fig. 3

Fig. 4

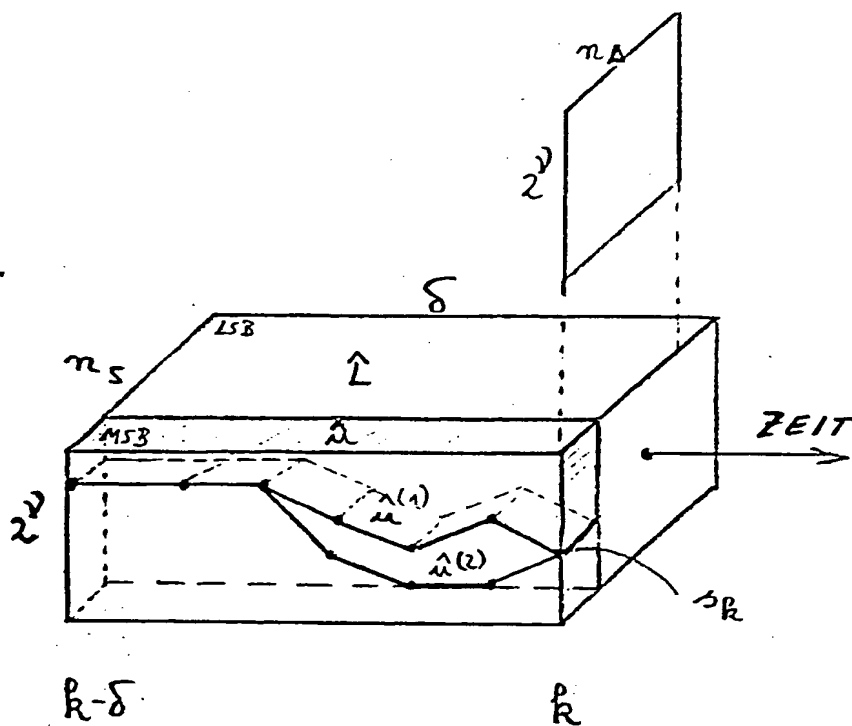


Fig. 5

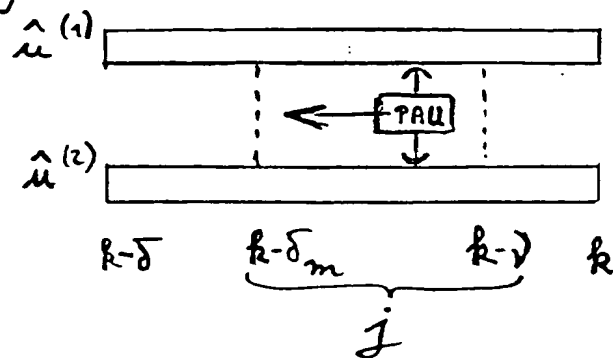
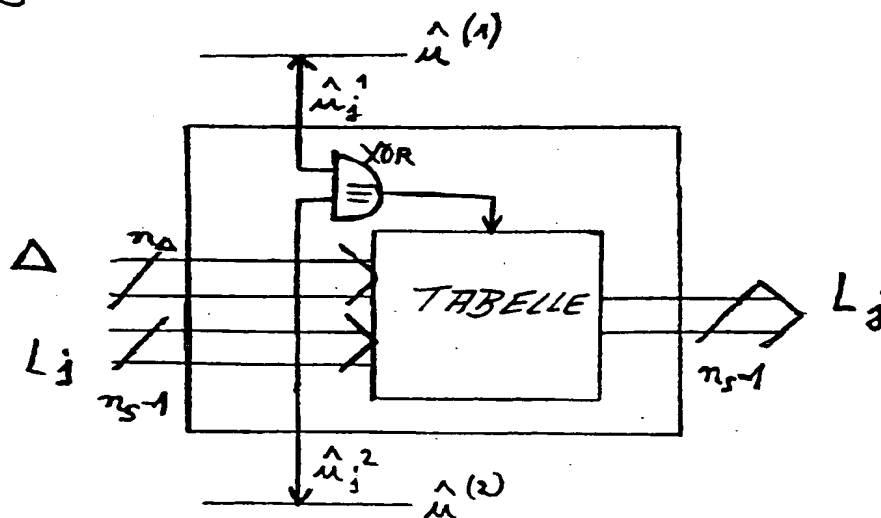


Fig. 6



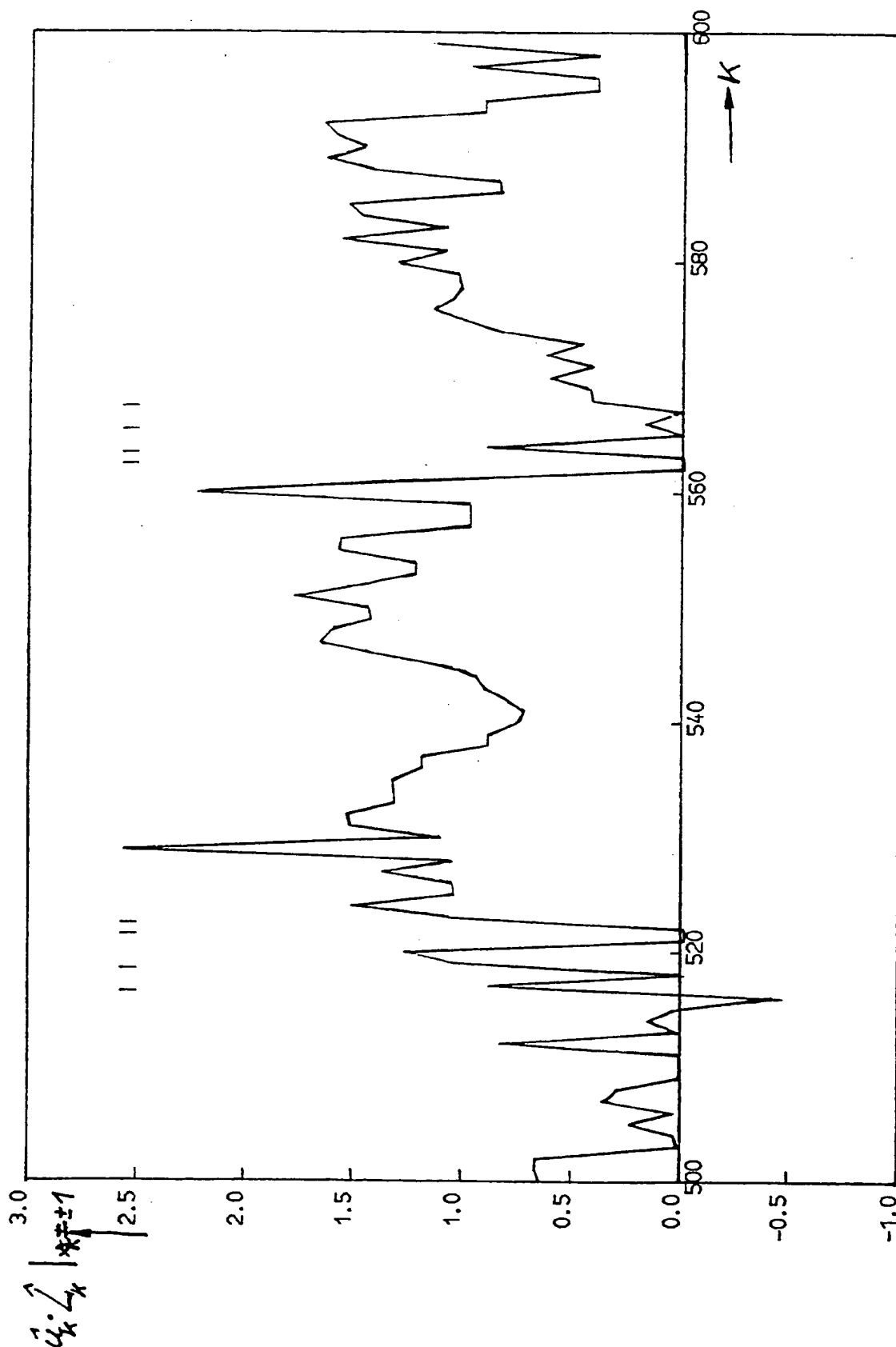


Fig. 7



**This Page is Inserted by IFW Indexing and Scanning  
Operations and is not part of the Official Record**

## **BEST AVAILABLE IMAGES**

Defective images within this document are accurate representations of the original documents submitted by the applicant.

Defects in the images include but are not limited to the items checked:

- ☐ **BLACK BORDERS**
- ☐ **IMAGE CUT OFF AT TOP, BOTTOM OR SIDES**
- ☒ **FADED TEXT OR DRAWING**
- ☒ **BLURRED OR ILLEGIBLE TEXT OR DRAWING**
- ☐ **SKEWED/SLANTED IMAGES**
- ☐ **COLOR OR BLACK AND WHITE PHOTOGRAPHS**
- ☐ **GRAY SCALE DOCUMENTS**
- ☐ **LINES OR MARKS ON ORIGINAL DOCUMENT**
- ☐ **REFERENCE(S) OR EXHIBIT(S) SUBMITTED ARE POOR QUALITY**
- ☐ **OTHER:** \_\_\_\_\_

**IMAGES ARE BEST AVAILABLE COPY.**

**As rescanning these documents will not correct the image problems checked, please do not report these problems to the IFW Image Problem Mailbox.**

**THIS PAGE BLANK (USPTO)**